

8. Козьма А.А., Барчій І.Є., Переши Є.Ю., Барчій О.І. // Proceed. of IV Int. workshop RNAOPM'2008. -Lutsk, June 1–5. 2008. -P. 40—42.
9. Берг Л.Г. Введение в термографию. -М.: Наука, 1969. -С. 395.
10. Липсон Г., Стипл Г. Интерпретация порошковых рентгенограмм. -М.: Мир, 1972. -С. 384.
11. Holland T.J.B., Redfern S.A.T. // Mineralogical Magazine. -1997. -61. -P. 65—77.
12. Boultif A., Louer D. // J. Appl. Cryst. -2004. -37. -P. 724—731.
13. Стасова М.М., Ванштейн Б.К. // Кристаллография. -1958. -3, № 2. -С. 140—146.
14. Palosz B., Salje E. // J. Appl. Cryst. -1989. -22. -P. 622, 623.
15. Nakajima S. // J. Phys. and Chem. Solids. -1963. -24. -P. 479—485.
16. Ворошилов Ю.В., Гурзан М.И., Кииш З.З., Лада Л.В. // Неорган. материалы. -1988. -24. -С. 1479—1484.
17. Akinocho G., Houenou P., Oyetola S. et al. // J. Solid State Chem. -1991. -93. -P. 336—340.
18. Jaulmes S., Houenou P. // Mater. Res. Bul. -1980. -15. -S. 911—915.
19. Man L.I., Semiletov S.A. // Kristallografiya KRISA 7. -1962. -P. 844—849.
20. Козьма А.А., Переши Є.Ю., Барчій І.Е. та ін. // Вісн. УжНУ. Сер. хім. -2008. -Вип.19—20. -С. 89—92.

Ужгородський національний університет

Надійшла 06.10.2009

УДК 546.824'882'654'34:544.022,822

С.Д. Кобилянська, О.М. Гавриленко, Ю.П. Гомза

СИНТЕЗ НАНОРОЗМІРНИХ СИСТЕМ $(\text{Li},\text{La})\{\text{Ti},\text{Nb}\}\text{O}_3$ МЕТОДОМ ЗОЛЬ-ГЕЛЬ

Методом золь-гель з використанням хлоридів та нітратів металів отримано наночастки літійвмісних титанату та ніобату лантану зі структурою дефектного перовскіту. Показано, що утворення титанату літію-лантану з середнім розміром часток (d) приблизно 15 нм відбувається при температурі 700 °C. На відміну від ніобату формування перовскіту $\text{La}_{0.5}\text{Li}_{0.5}\text{TiO}_3$ проходить в одну стадію, без проміжних сполук, що також нехарактерно для інших методів синтезу даного складного оксиду.

ВСТУП. Значний інтерес до літійпровідних твердих електролітів зумовлений перспективою їх використання як складових хімічних джерел струму [1]. Серед високопровідних — системи зі структурою дефектного перовскіту: $\text{La}_{2/3-x}\text{Li}_{3x}\bullet 1/3-2x\text{TiO}_3$ ($\sigma \sim 10^{-3}$ См·см $^{-1}$ при 290 K) [2—5], а також $\text{La}_{2/3-x}\text{Li}_{3x}\bullet 4/3-2x\text{Nb}_2\text{O}_6$ ($\sigma \sim 10^{-4}$ См·см $^{-1}$ при 290 K) [6, 7]. Наявність катіонних вакансій у структурі сприяє високій рухливості іонів літію через вузьке місце, сформоване чотирма прилеглими кисневими октаедрами [8]. Синтез вказаних систем переважно здійснюється методом твердофазних реакцій (ТФР), що супроводжується отриманням крупних часток [2—7]. Застосування методу осадження хоч і дозволяє отримувати частинки меншого розміру, однак продукт недостатньо гомогенний, оскільки неможливо одержати нерозчинний осад літію [9, 10]. Вищезазначеніх недоліків позбавлений золь-гель метод [11], який дозволяє отримувати наночастки, гомогенізувати суміш на молекулярному рівні та знизити температуру синтезу літійпровідних фаз.

З літератури відомо, що із зменшенням розмірів часток матеріалу літійпровідного електроліту в окремих випадках можливе зростання циклюваності хімічних джерел струму [12]. Крім того, як було показано, літійпровідні титанат та ніобат лантану можуть працювати як pH-сенсори [13—16]. При виробництві сенсорів часто застосовують товсті плівки, які виготовляються на основі наночасток матеріалу, що дає відгук.

Метою даної роботи є синтез наночасток літійвмісних перовскітів $\text{La}_{0.5}\text{Li}_{0.5}\text{TiO}_3$ і $\text{La}_{0.5}\text{Li}_{0.5}\text{Nb}_2\text{O}_6$ методом золь-гель та дослідження їх структурних особливостей.

ЕКСПЕРИМЕНТАЛЬНА ЧАСТИНА. Синтез порошкових прекурсорів проводили методом золь-гель [11, 18]. При синтезі використовували кристалогідрати $\text{LiNO}_3\cdot 3\text{H}_2\text{O}$, $\text{La}(\text{NO}_3)_3\cdot 6\text{H}_2\text{O}$ та $\text{TiCl}_4\cdot (\text{NbCl}_5)$ (усі класифікації х.ч.) у стехіометричних кількостях.

Хлориди титану (ніобію) розчиняли в ізопропіловому спирті (х.ч., $i\text{PrOH}$). До отриманих розчинів додавали безводну лимонну кислоту (х.ч.,

© С.Д. Кобилянська, О.М. Гавриленко, Ю.П. Гомза , 2010

СА, H_3Cit) та надлишок етиленгліколю (х.ч., EG). До водних розчинів нітратів літію та лантану додавали лимонну кислоту. Отримані розчини, що містили йони Ti^{+4} (Nb^{+5}), La^{+3} , Li^+ , нагрівали при 70°C при постійному перемішуванні до повного випаровування спирту. Нагрівання продовжували при 135°C протягом 30 год. Для одержання ксерогелю синтезований полімер додатково нагрівали протягом 12 год при 100°C . Для отримання порошку прекурсору полімер прожарювали на піщаній бані при $350 \pm 10^\circ\text{C}$ (5 год). Термообробку порошків прекурсорів проводили в інтервалі температур від 600 до 1200°C протягом 1 год.

Термічний аналіз було проведено на обладнанні TGDTA92 Setaram при швидкості нагрівання $5^\circ\text{C}\cdot\text{хв}^{-1}$. Фазовий склад отриманих продуктів визначали методом рентгенофазового аналізу (РФА) (ДРОН-4, CuK_α -випромінювання; Ni-фільтр, дискретний режим з регулюванням кроку до $\pm 0.01^\circ$; час експозиції кожної точки складав 6 с).

Мікрофотографії зроблені з допомогою трансмісійного електронного мікроскопа SELMI ПЕМ-125К, на вольфрамовому катоді з робочою прискорюючою напругою 100 кВ. Фрактальну структуру зразків досліджували методом малокутового розсіювання рентгенівських променів. Вимірювання здійснювали у вакуумній камері типу Краткі з випромінюванням мідного анода, монохроматизованим повним внутрішнім відбиванням і нікелевим фільтром. Зйомку проводили в режимі багаторазового крокового сканування сцинтиляційного детектора в діапазоні кутів розсіювання від 0.03 до 4.0 град. Попередню обробку кривих виконували із застосуванням програми FFSAXS. Для проведення експериментів досліджувані матеріали у вигляді дрібнодисперсних порошків поміщали в кювети товщиною 0.1—0.2 мм з вікнами з лавсану товщиною 17 мкм.

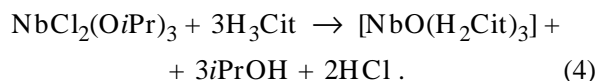
ОБГОВОРЕННЯ РЕЗУЛЬТАТИВ. При розчиненні хлоридів металів у $i\text{PrOH}$ можливе утворення частково заміщеного алcoxиду титану згідно з реакцією [18]:



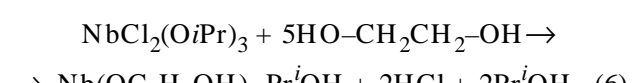
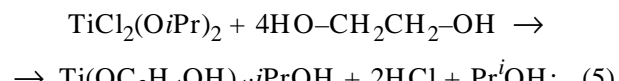
та, імовірно, частково заміщеного алcoxиду ніобію:



Додавання лимонної кислоти може сприяти утворенню цитратних комплексів згідно з [20]:



Додавання етиленгліколю супроводжувалось утворенням прозорих розчинів, при цьому можливе формування стійких комплексів [21]:



Суміш лимонної кислоти з етиленгліколем, очевидно, виступала агентом комплексоутворення для Ti^{+4} та Nb^{+5} , що дало змогу стабілізувати отримані розчини.

Утворення цитратних комплексів $\text{Li}_3[\text{LaCit}_2]\cdot\text{H}_2\text{O}$ [20] могло мати місце при реакції лимонної кислоти з $\text{LiNO}_3 \cdot 3\text{H}_2\text{O}$ та $\text{La}(\text{NO}_3)_3 \cdot 6\text{H}_2\text{O}$. При перемішуванні та нагріванні суміші до температури 135°C відбувались процеси поліестерифікації, що супроводжувались отриманням гелю світлового кольору.

Результати термічного аналізу ксерогелей титанового (LLTiO) та ніобієвого (LLNbO) прекурсорів наведені на рис. 1, а, б. Наявність екзоэффекту на кривій ДТА LLTiO з максимумом при 390°C , що супроводжувався, згідно з кривою ТГ, значною втратою маси (60 %) в інтервалі від 300 до 450°C (рис. 1, а), пояснюється піролізом полімеру та процесами дегідратації (декарбонізації), що мають місце при цьому, відповідно. На відміну від LLTiO на кривій ДТА LLNbO (рис. 1, б) спостерігаються два екзоекти, що також супроводжуються основною втратою маси наважки (80 %) в дещо ширшому, ніж у випадку LLTiO, інтервалі (від 300 до 550°C). Перший з них, при 350°C , пояснюється піролізом полімерного комплексу, а другий, при 450°C , — кристалізацією проміжних фаз — LiNbO_3 та LaNbO_4 при утворенні перовскиту $\text{La}_{0.5}\text{Li}_{0.5}\text{Nb}_2\text{O}_6$ [10]. Рефлекси від цих проміжних фаз спостерігаємо на дифрактограмі прожареного при 600°C прекурсору LLNbO (рис. 2, б).

Результати рентгенофазового аналізу LLTiO після термообробки при різних температурах прожарювання (рис. 2, а) свідчать про кристалізацію перовскитної фази при 700°C без проміжних сполучок, в одну стадію, що не є характерним для ін-

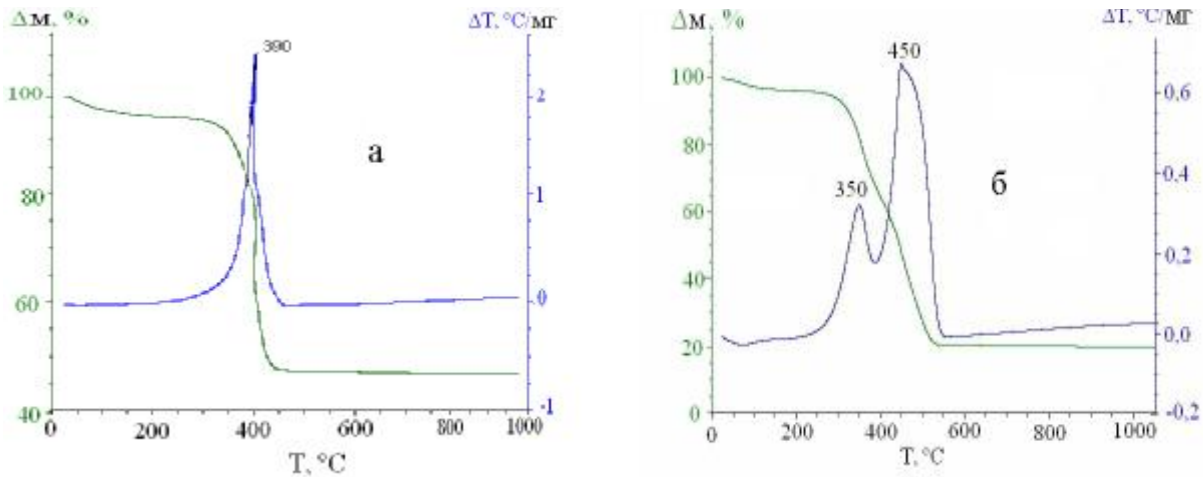


Рис. 1. Криві ДТА—ТГ для прекурсорів LLTiO (a) та LLNbO (б).

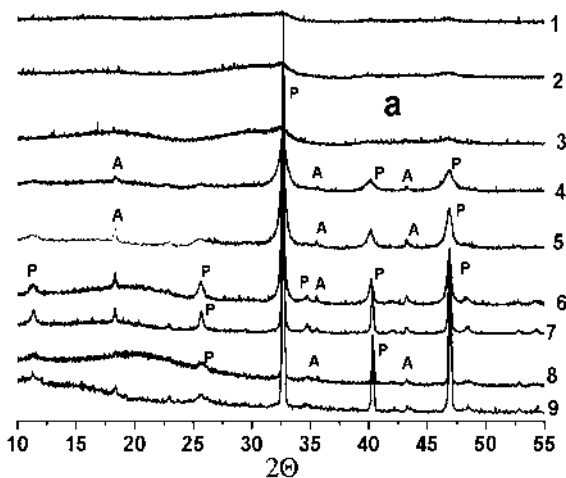


Рис. 2. Рентгенограми систем, отриманих золь—гель методом при різних температурах термообробки, та їх фазовий склад: a — LLTiO, б — LLNbO; 1 — 300; 2 — 500; 3 — 600; 4 — 700; 5 — 800; 6 — 900; 7 — 1000; 8 — 1100; 9 — 1200 °C. Р — перовскіт, А — $\text{Li}_2\text{Ti}_2\text{O}_5$ (a); Р — перовскіт, А — LiNbO_3 , В — LaNbO_4 , С — LiNb_3O_8 , Х — невідома фаза (б).

ших методів синтезу (ТФР, методу осадження) [9]. У випадку LLNbO відмінність полягає в тому, що процес формування перовскитної фази починається при температурі 900 °C та є багатостадійним (відбувається через утворення ряду проміжних сполук) (рис. 2, б), як і при інших методах синтезу літійвмісного ніобату лантану зі структурою дефектного перовскиту [10].

Результати електронної мікроскопії золь—гель порошків після термообробки при температурах формування перовскитної фази 700 та 900 °C для LLTiO і LLNbO відповідно показані на рис. 3, а, б. Середній

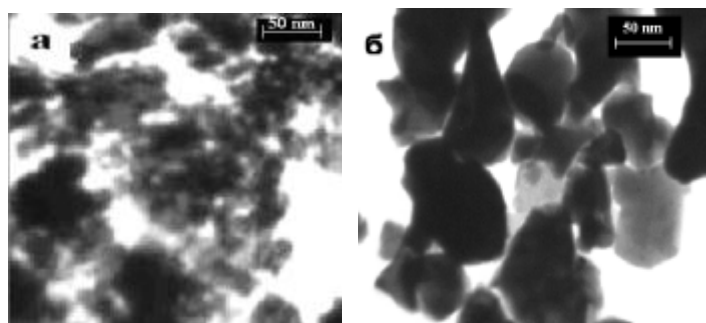
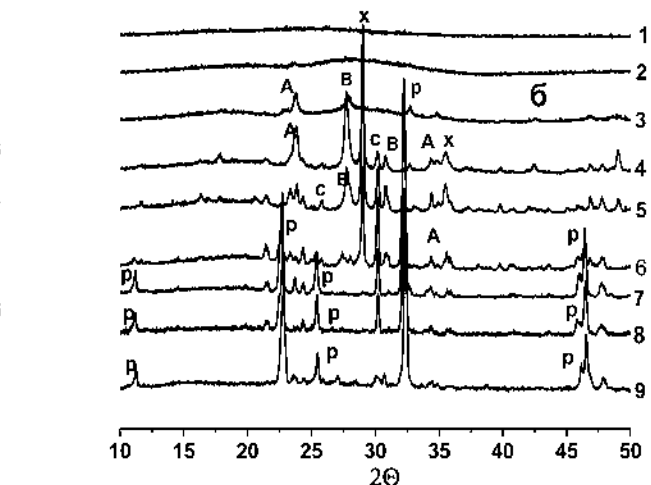


Рис. 3. Мікрофотографії порошків LLTiO (а) та LLNbO (б), синтезованих золь—гель методом: а — $T = 700$ °C, $d \sim 15$ нм; б — $T = 900$ °C, $d \sim 200$ нм.

Структурні параметри, отримані підгонкою уніфікованих функцій кривих малокутового розсіювання досліджених зразків

Зразок	$T, ^\circ\text{C}$	Рівень агрегації	Тип фракталу	s	D	R_g	d
						нм	нм
LLTiO	100	1	S	-3.70	2.30	4.19	11
		2	S	-3.40	2.60	22	56
		3	M	-2.00	2.00	157	405
	300	1	S	-3.30	2.70	22	57
		2	M	-2.17	2.17	157	405
	500	1	S	-4.0	2.0	25	65
		2	M	-1.8	1.8	157	405
	700	1	S	-4.0	2.0	34	87
		2	M	-2.63	2.63	273	704
LLNbO	100	1	M	-1.70	1.70	11	28
		2	M	-2.70	2.70	157	405
	300	1	M	-1.80	1.80	16	39
		2	M	-2.80	2.80	209	504
	500	1	M	-2.8	2.8	16	39
		2	M	-2.2	2.2	157	405
	600	1	S	-4.00	2.00	16	39

При мітка. М — масовий фрактал, S — поверхневий; s — нахил скейлінгової ділянки кривої малокутового розсіювання; D — значення відповідної фрактальної розмірності; R_g — радіус обертання фрактального агрегату; $d = R_g \cdot 2.58$.

розмір кристалітів у титанаті складає 15 нм, тоді як у випадку ніобату — це крупні частинки біля 200 нм. Присутність значної кількості проміжних фаз при синтезі, очевидно, сповільнює одержання однофазного продукту та зумовлює ріст зерен у процесі термічної обробки LLNbO.

Відомо, що наночастинки при синтезі самоорганізовуються і можуть при цьому утворювати фрактальні структури, природа яких, а також кількість рівнів упорядкування, можуть впливати на властивості нанопорошків [21]. Результати дослідження фрактальної самоорганізації в системах LLTiO та LLNbO методом малокутового рентгенівського розсіювання наведені у таблиці. У випадку титанату спостерігається трьох- та дворівнева поверхнево-масова фрактальна організація в залежності від температури, яка зберігається навіть при температурі утворення перовскитної фази. Для ніобату характерна дворівнева лише масово-фрактальна самоорганізація. Фрактальні властивості не притаманні LLNbO вже на стадії

кристалізації проміжних фаз (600°C) (таблиця). Менші значення фрактальної розмірності (D) масових фракталів у титанаті порівняно з ніобатом зумовлюють різницю в механічних властивостях. Порошки титанату — більш пухкі, з меншою об'ємною вагою. Крім того, для обох систем мають місце порівняно менші значення фрактальної розмірності масових фракталів після піролізу полімерів, що пояснюється менш компактною структурою порошків при цій температурі.

Таким чином, у роботі показано можливість синтезу наночасток літійвмісних титанату та ніобату лантану зі структурою дефектного перовскіту золь-гель методом з використанням хлоридів та нітратів металів. Утворення титанату літію-лантану ($d \sim 15$ нм) відбувається при 700°C та, на відміну від інших методів синтезу цього складного оксиду, проходить в одну стадію. Формування літійвмісного ніобату лантану при золь-гель синтезі є багатостадійним процесом, що характерно також для інших методів та спричиняє ріст зерен при термообробці.

РЕЗЮМЕ. Методом золь-гель с использованием хлоридов и нитратов металлов получены наночастицы литийсодержащих титаната и ниобата лантана со структурой дефектного перовскита. Показано, что титанат лития-лантанана со средним размером частиц (d) приблизительно 15 нм образуется при температуре 700°C . В отличие от ниобата формирование перовскита $\text{La}_{0.5}\text{Li}_{0.5}\text{TiO}_3$ происходит в одну стадию, без промежуточных соединений, что также нехарактерно для других методов синтеза данного сложного оксида.

SUMMARY. The method of sol-gel using chlorides and nitrates of metal nanoparticles have received lithium-containing lanthanum titanate and niobate the structure defective perovskite. Shown that the formation of lithium titanate-lanthanum with average particles size $d \sim 15$ nm occurs at 700°C . Unlike niobate formation perovskite $\text{La}_{0.5}\text{Li}_{0.5}\text{TiO}_3$ runs at one stage, without intermediate compounds, which is also uncharacteristic for other methods of synthesis of the complex oxide.

- Бурмакин Е.И. Твердые электролиты с проводимостью по катионам щелочных металлов. -М.: Наука, 1992.

2. Белоус А.Г., Новицкая Г.Н., Полянецкая С.В., Горников Ю.И. // Неорган. материалы. -1987. -**23**. -С. 470—472.
3. Белоус А.Г., Новицкая Г.Н., Полянецкая С.В., Горников Ю.И. // Журн. неорган. химии. -1987. -**32**, № 2. -С. 283—286.
4. Sanz J., Alonso J.A., Varez A. et al. The Institute laue Langevin Annual Report. -2002. -P. 34—35.
5. Gavrilenco O.N., Belous A.G., Kovalenko L.L., Pashkova Ye.V. // Materials and Manufacturing Processes. -2008. -**23**. -P. 607—610.
6. Белоус А.Г., Новосадова Е.Б., Диудух И.Р. и др. Ионые расплавы и электролиты. -1986. -№ 4. -С. 68—73.
7. Bohnke O. // Solid State Ionics. -2008. -**179**. -P. 9—15.
8. Вест А. Химия твердого тела / Пер. с англ. -М.: Мир, 1988. -С. 440—441.
9. Belous A., Yanchevskiy O., V'yunov O. // Chem. Mater. -2004. -**16**. -P. 407—417.
10. Belous A., Gavrilenco O., Pashkova O. et al. // Eur. J. Inorg. Chem. -2008. -P. 4792—4796.
11. Kakihana M.J. // Sol-Gel Sci. Technol. -1996. -**6**. -P. 4.
12. Jamnikab J., Maier J. // Phys. Chem. Chem. Phys. -2003. - № 5. -P. 5215—5220.
13. Zhu J., Yang X., Xu X., Wei K. // Chinese Science Bull. -2006. -**51**, № 3. -P. 374—376.
14. Jasinski G., Jasinski P., Chachulski B., Nowakowski A. // Materials Science Poland. -2006. -**24**, № 1. -P. 261—268.
15. Ramamoorthy R., Dutta P., Akbar S. // J. Materials Science. -2003. -№ 38. -P. 4271—4282.
16. Roffat M., Nol O., Soppera O., Bohnke O. // Sensors and Actuators B. -2009. -**138**. -P. 193—200.
17. Maier J. // Solid State Ionics. -2002. -**148**. -P. 367.
18. Pat. U.S. -Publ. July, 1967.
19. Bradley D.C., Hancock D.C., Wardlow W. // J. Chem. Soc. -1952. -P. 2773—2785.
20. Bradley D.C. // Ibid. -1952. -P. 4204—4212.
21. Спицын В.И., Мартыненко Л.И. Неорганическая химия. -М.: Изд-во МГУ, 1994. -Ч. II.
22. Marek I. Titanium and zirconium in organic synthesis. -Weinheim: Wiley-VCH, 2002. -P. 512—519.
23. Иванов В.К., Баранов А.Н., Капустин Д.В., Третьяков Ю.Д. // Неорган. материалы. -1997. -**33**, № 7. -С. 830—834.

Інститут загальної та неорганічної хімії
ім. В.І. Вернадського НАН України, Київ
Інститут високомолекулярних сполук НАН України, Київ

Надійшла 04.12.2009

УДК 541.123

В.Г. Матвиенко, Л.С. Нифантова

РАВНОВЕСИЕ ЖИДКОСТЬ—ПАР В СИСТЕМЕ ДИОКСИД УГЛЕРОДА—ТРИЭТИЛЕНГЛИКОЛЬ

Исследована растворимость диоксида углерода в триэтиленгликоле при температурах 0—50 °C и давлениях до 9 МПа. Установлено расслоение в жидкой фазе этой системы при концентрации CO₂ 43—46 % мол. и температуре ниже критической для CO₂, причем вторая жидккая фаза представляет собой диоксид углерода с малой примесью триэтиленглиогля.

ВВЕДЕНИЕ. Триэтиленгликоль (ТЭГ) наряду с диэтиленгликolem (ДЭГ) широко применяется в качестве абсорбента для удаления влаги из природного газа. В процессе осушки в нем растворяются также другие компоненты этого газа, в частности, диоксид углерода, парциальное давление которого в некоторых случаях может достигать нескольких МПа. Кроме того, диоксид углерода является одним из компонентов многих технологических газов. В литературе имеются немногочисленные экспериментальные данные по раст-

воримости диоксида углерода в ТЭГ [1—3], которые, однако, существенно различаются между собой. Ранее [4] нами была изучена растворимость диоксида углерода в ДЭГ в интервале температур 0—50 °C и давлениях до 9 МПа. При этом было отмечено появление второй жидкой фазы при температурах ниже критической температуры CO₂ (+31.04 °C), когда его концентрация в растворе превышала 33 % мол.. Вторая жидккая фаза является практически чистым диоксидом углерода.

В настоящей работе приведены результаты

© В.Г. Матвиенко, Л.С. Нифантова , 2010